

# 日本語訳『Qiskit Textbook Machine Learning』勉強会

## ・データの符号化

---

Kifumi Numata (Qiskit Advocate)

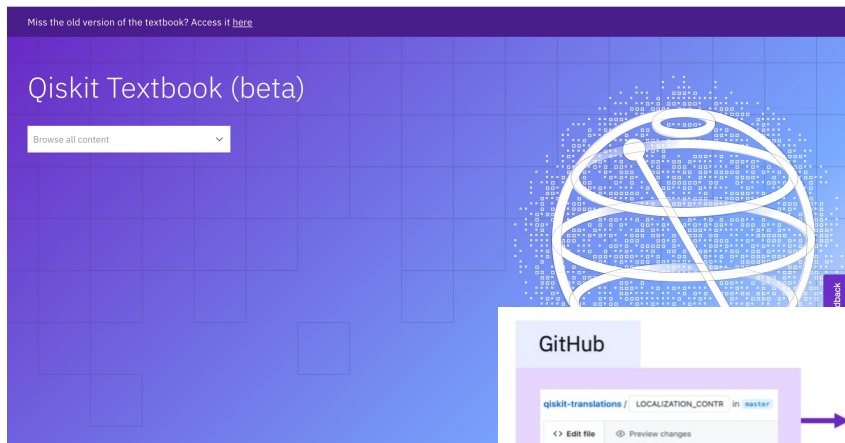
May 30, 2022

本文 : <https://learn.qiskit.org/course/machine-learning/data-encoding>

一時的な和訳 : [https://github.com/quantum-tokyo/introduction/blob/main/qiskit\\_textbook/New\\_textbook/quantum-machine-learning/encoding.ipynb](https://github.com/quantum-tokyo/introduction/blob/main/qiskit_textbook/New_textbook/quantum-machine-learning/encoding.ipynb)

# 新版Qiskit Textbookの翻訳協力者募集中！

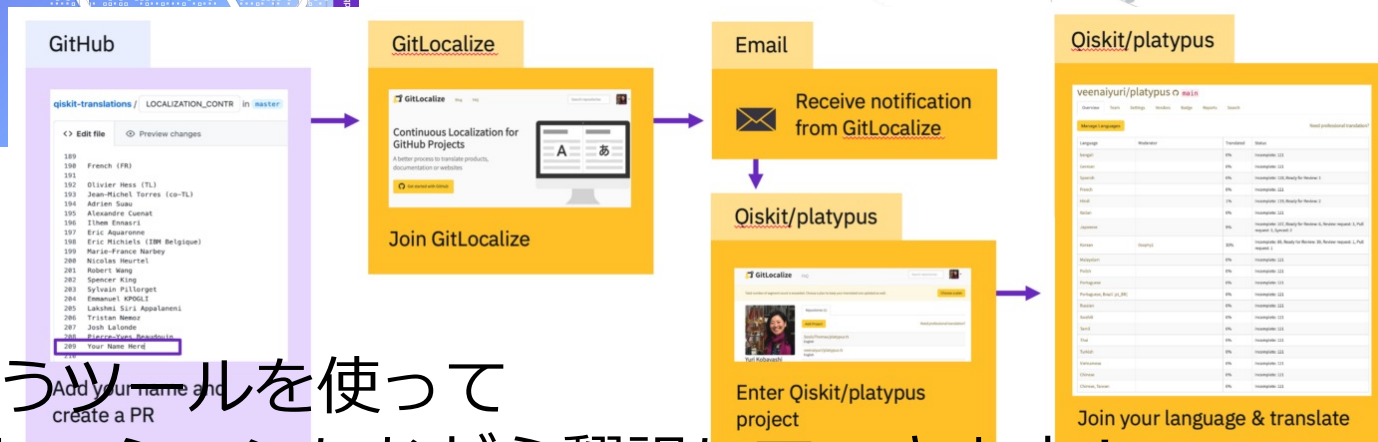
<https://github.com/qiskit-community/qiskit-translations>



Help make Qiskit accessible to non-English speaking communities



GitLocalizeというツールを使って  
複数人でコラボレーションしながら翻訳していきます！

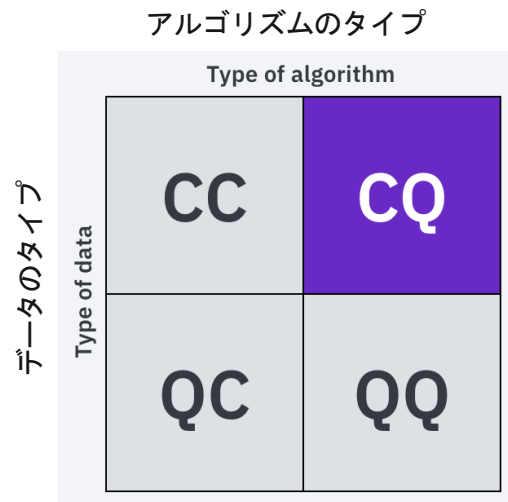


# 前回の復習

## 量子機械学習の4つのアプローチ

データの生成と処理の方式の組み合わせ

- CCアプローチ  
従来の機械学習
- QCアプローチ  
機械学習の量子計算への応用
- **CQアプローチ** (古典データで量子アルゴリズム)  
**従来の機械学習の問題に量子アルゴリズムを適用**
- QQアプローチ  
量子データに量子アルゴリズムを適用



C: Classical (古典的)

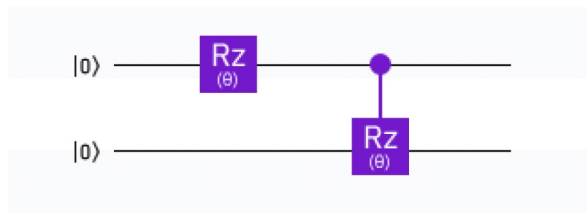
Q: Quantum (量子的)

# 前回の復習

## パラメータ化された量子回路とは

チューニング可能なパラメータを持つ量子回路のこと。

特にNISQ(Noisy Intermediate-Scale Quantum)量子アルゴリズムの根幹を担う概念です。



## パラメータ化された量子回路の特徴づけ

- ・ **Expressibility** (表現能力)
- ・ **Entangling Capability** (エンタングリング能力)

分類タスクにおいて、Expressibilityと分類精度は強い相関があることが報告されています。

# データの符号化

量子機械学習のためのデータ符号化を紹介します。

1. 計算基底符号化
2. 振幅符号化
3. 角度符号化
4. 任意の符号化

# はじめに

機械学習モデルを成功させるには、**データの表現**が非常に重要。

- **古典的な機械学習**の場合の課題  
データを数値的に表現し、古典機械学習アルゴリズムで**最適に処理**できるようにする。
- **量子機械学習**の場合の課題  
データを効率的に量子システムに**入力**し、量子機械学習アルゴリズムで**処理**できるようにする。  
→ つまり、  
**データを量子コンピューターで処理できるような形にすることが課題**

**データの符号化、データエンコーディング、データの埋め込み、ロード**などと呼ばれる。  
このプロセスは、量子機械学習アルゴリズムの重要な部分であり、  
その計算能力に直接影響します。



# 古典データセット

それぞれが  $N$  個の**特徴(feature)**を持つ  $M$  個のサンプルで構成される古典的なデータセット  $\mathcal{X}$  について考えます:

$$\mathcal{X} = \{x^{(1)}, \dots, x^{(m)}, \dots, x^{(M)}\}$$

ここで、 $x^{(m)}$  は  $m=1, \dots, M$  の  $N$  次元ベクトルです。

このデータセットを量子ビットで表す手法はいろいろありますが、今回は4つの手法を紹介します。

**(\*) 特徴(feature)** : 特徴とは、学習しようとするものの性質で、数値を割り当てることができるものです。例えば、猫について学習する場合、「身長」、「年齢」、「おやつを食べる傾向」などが特徴として挙げられます。

# 1. 計算基底符号化

古典的な $N$ ビット文字列を $N$ 量子ビットの**計算基底状態**に関連付けます。

(\*) **計算基底状態** : Z基底状態とも呼ばれ、Z（または計算）基底で測定したときの状態。 $|00\rangle$ や $|00110100\rangle$ のようなラベルを持つ状態です。IBMのシステムは常にZ基底で測定します。

$N$ ビット文字列  
 $x^{(m)} = (b_1, b_2, \dots, b_N)$



$N$ 量子ビット  
 $|x\rangle = |b_1, b_2, \dots, b_N\rangle$

(ここで、 $n=1, \dots, N$ に対して  $b_n \in \{0,1\}$ )

例)  $x=5$ の場合、0101なので、4量子ビットの $|0101\rangle$ で表す。



古典的なデータセット $\mathcal{X}$ の場合は、

$$\mathcal{X} = \{x^{(1)}, \dots, x^{(m)}, \dots, x^{(M)}\}$$

各データポイント( $N$ ビット)

$$x^{(m)} = (b_1, b_2, \dots, b_N)$$



計算基底  
符号化

量子状態( $N$ 量子ビット)

$$|x\rangle = |b_1, b_2, \dots, b_N\rangle$$

(ここで $n=1, \dots, N$ において、 $b_n \in \{0, 1\}$ 、  
また、 $m=1, \dots, M$ です。)

よって

データセット $\mathcal{X}$ 全体を以下のような計算基底状態の重ね合わせとして表すことができます。

$$|\mathcal{X}\rangle = \frac{1}{\sqrt{M}} \sum_{m=1}^M |x^{(m)}\rangle$$

例) データセット

$$\mathcal{X} = \{x^{(1)} = 101, x^{(2)} = 111\}$$



計算基底符号化

量子状態

$$|\mathcal{X}\rangle = \frac{1}{\sqrt{2}}(|101\rangle + |111\rangle)$$

参照 : Textbook Tool

# 計算基底符号化の実装

例) データセット  $\mathcal{X} = \{x^{(1)} = 101, x^{(2)} = 111\}$   $\Rightarrow$   $|\mathcal{X}\rangle = \frac{1}{\sqrt{2}}(|101\rangle + |111\rangle)$

Qiskitでは、どのような状態でデータセットを符号化するかを計算したら、**initialize関数**で準備します。

```
import math
from qiskit import QuantumCircuit
```

```
desired_state = [
    0,
    0,
    0,
    0,
    0,
    0,
    1 / math.sqrt(2),
    0,
    1 / math.sqrt(2)]
```

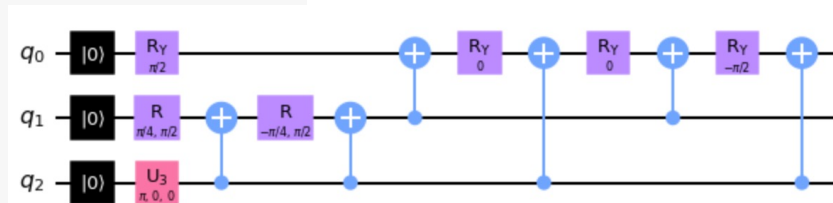
$$|5\rangle = \begin{pmatrix} 0 \\ 0 \\ 0 \\ 0 \\ 0 \\ 0 \\ 1 \\ 0 \\ 0 \end{pmatrix}, |7\rangle = \begin{pmatrix} 0 \\ 0 \\ 0 \\ 0 \\ 0 \\ 0 \\ 0 \\ 0 \\ 1 \end{pmatrix}$$

```
qc = QuantumCircuit(3)
qc.initialize(desired_state, [0,1,2])
```

```
qc.decompose().decompose().decompose().decompose().decompose().draw("mpl")
```

もう一つdecompose().が必要。

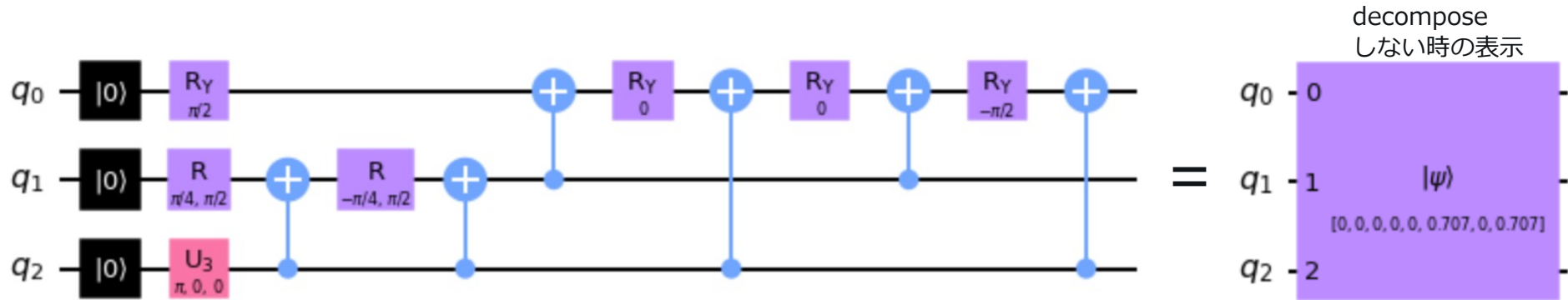
decomposeがない場合の量子回路はかなりハイレベルな表現。



計算基底符号化の欠点：

理解するのは簡単だが、状態ベクトルが非常に疎になることが多く、効率的に実装できない。

# Initialize関数とは



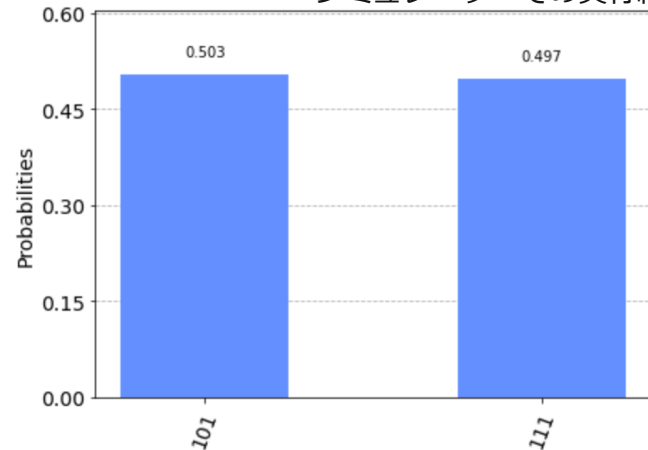
```
desired_state = [
    0,
    0,
    0,
    0,
    0,
    0,
    1 / math.sqrt(2),
    0,
    1 / math.sqrt(2)]

qc = QuantumCircuit(3)
qc.initialize(desired_state, [0,1,2])
```

$$R_Y(\theta) = R(\theta, \pi/2)$$

{'101': 503, '111': 497}

シミュレーターでの実行結果



# Initialize関数とは

任意の量子状態 $|\psi\rangle$ を作ってくれるのがInitialize関数。

量子状態 $|\psi\rangle$ は、ユニタリー行列 $U$ で、 $|0\rangle$ に戻すことができます。

$$U|\psi\rangle = |0\rangle$$

$U$ の逆行列 $U^{-1}$ が作ることができれば、 $|\psi\rangle$ を実装できます。

$$|\psi\rangle = U^{-1} |0\rangle$$

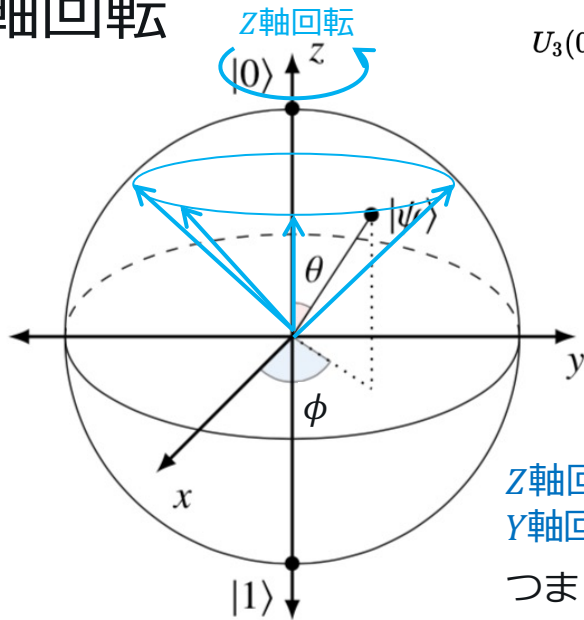
Initialize関数は、 $U$ を量子ゲートで実装し、それを逆行列にすることで任意の量子状態 $|\psi\rangle$ を実装します。

任意の1量子ビットの量子状態 $|\psi\rangle$ は、  
Z軸回転、Y軸回転で、 $|0\rangle$ に戻る

$$R_z(\phi) = \begin{pmatrix} e^{-i\phi/2} & 0 \\ 0 & e^{i\phi/2} \end{pmatrix} \equiv u1(\phi) = e^{-i\phi/2} \begin{pmatrix} 1 & 0 \\ 0 & e^{i\phi} \end{pmatrix}$$

グローバル・フェーズ  $e^{-i\phi/2}$  だけ  $u1$   
と異なるので、同じとみなしています。

Z軸回転



$$U_3(0, 0, \lambda) = U_1 = \begin{bmatrix} 1 & 0 \\ 0 & e^{i\lambda} \end{bmatrix}$$

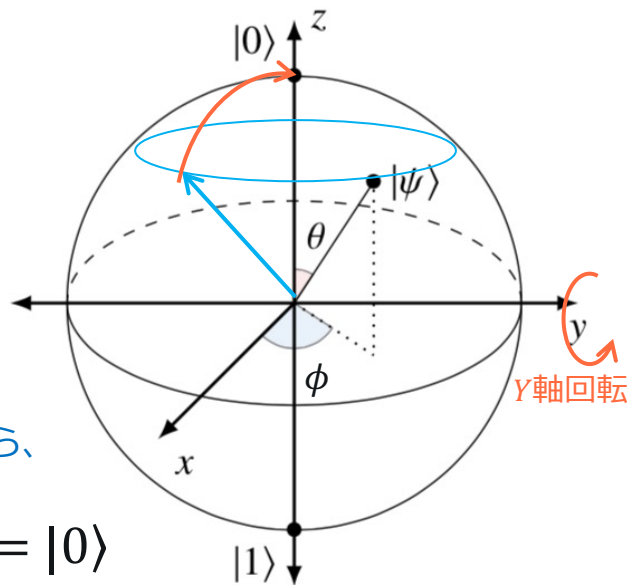
位相ゲート

Z軸回転でXZ平面に合わせてから、  
Y軸回転すると $|0\rangle$ になる

$$\text{つまり、} R_y(\theta)R_z(\phi)|\psi\rangle = |0\rangle$$

$$R_y(\theta) = \begin{pmatrix} \cos(\theta/2) & -\sin(\theta/2) \\ \sin(\theta/2) & \cos(\theta/2) \end{pmatrix} = u3(\theta, 0, 0)$$

Y軸回転



# $R_y(\theta)R_z(\phi)|\psi\rangle = |0\rangle$ になる角度 $\theta, \phi$ の求め方

この $\theta, \phi$ が求まれば、逆回転させて、 $|\psi\rangle = U^{-1}|0\rangle$ となる $U^{-1}$ が求められる。

ただし、 $|\psi\rangle$ は1量子ビット状態。

$$R_y(\theta)R_z(\phi)|\psi\rangle = |0\rangle \text{ より}$$

$$R_z(\phi)|\psi\rangle = R_y(-\theta)|0\rangle$$

$$|\psi\rangle = \alpha|0\rangle + \beta|1\rangle = \begin{pmatrix} \alpha \\ \beta \end{pmatrix} \text{ とすると}$$

$$\underbrace{\begin{pmatrix} 1 & 0 \\ 0 & e^{i\phi} \end{pmatrix}}_{R_z(\phi)} \underbrace{\begin{pmatrix} \alpha \\ \beta \end{pmatrix}}_{R_y(-\theta)} = \underbrace{\begin{pmatrix} \cos(\theta/2) & \sin(\theta/2) \\ -\sin(\theta/2) & \cos(\theta/2) \end{pmatrix}}_{R_y(-\theta)} \begin{pmatrix} 1 \\ 0 \end{pmatrix}$$

より  $\alpha = \cos(\theta/2)$ なので

$$\theta = 2\arccos(\alpha)$$

$$\text{また } R_z(\phi) \begin{pmatrix} \alpha \\ \beta \end{pmatrix} = \begin{pmatrix} \cos \frac{\theta}{2} \\ -\sin \frac{\theta}{2} \end{pmatrix} \text{ から}$$

$$\begin{pmatrix} \alpha \\ \beta \end{pmatrix} = R_z(-\phi) \begin{pmatrix} \cos \frac{\theta}{2} \\ -\sin \frac{\theta}{2} \end{pmatrix} = \begin{pmatrix} 1 & 0 \\ 0 & e^{-i\phi} \end{pmatrix} \begin{pmatrix} \cos \frac{\theta}{2} \\ -\sin \frac{\theta}{2} \end{pmatrix} = \begin{pmatrix} \cos \frac{\theta}{2} \\ -e^{-i\phi} \sin \frac{\theta}{2} \end{pmatrix}$$

より  $\phi$ は、 $\alpha$ と $\beta$ の相対位相

# 3量子ビットで $U|\psi\rangle = |0\rangle$ になる $U$ を作る

目標：  $n$ 量子ビットで  $U^{-1}$ を作って、状態 $|\psi\rangle = U^{-1} |0\rangle$ を作りたい。  
まず3量子ビットで考えてみる。

$$|\psi\rangle = \begin{pmatrix} a_1 \\ a_2 \\ a_3 \\ a_4 \\ a_5 \\ a_6 \\ a_7 \\ a_8 \end{pmatrix} \text{ で、 } U|\psi\rangle = |0\rangle \text{ となる } U \text{ を作りたい。}$$

$|\psi\rangle$ を4つの2次元縦ベクトルに分解。

$$|\psi_1\rangle = \begin{pmatrix} a_1 \\ a_2 \end{pmatrix}, |\psi_2\rangle = \begin{pmatrix} a_3 \\ a_4 \end{pmatrix}, |\psi_3\rangle = \begin{pmatrix} a_5 \\ a_6 \end{pmatrix}, |\psi_4\rangle = \begin{pmatrix} a_7 \\ a_8 \end{pmatrix}$$

$R_1|\psi_1\rangle = r_1|0\rangle$  となる $R_1$  は、  $R_y(\theta)R_z(\phi)$  の $\theta, \phi$ を求めることで求められる。  
同じようにして、  $R_2, R_3, R_4$  も求める。

$$\begin{bmatrix} R_1 & & & 0 \\ & R_2 & & \\ & & R_3 & \\ 0 & & & R_4 \end{bmatrix} |\psi\rangle = \begin{bmatrix} R_1|\psi_1\rangle \\ R_2|\psi_2\rangle \\ R_3|\psi_3\rangle \\ R_4|\psi_4\rangle \end{bmatrix} = \begin{bmatrix} r_1|0\rangle \\ r_2|0\rangle \\ r_3|0\rangle \\ r_4|0\rangle \end{bmatrix} = \begin{bmatrix} r_1 \\ r_2 \\ r_3 \\ r_4 \end{bmatrix} \otimes |0\rangle$$

8x8の行列

8次元縦ベクトル(3量子ビット)の $|\psi\rangle$ が  
8x8の行列で、4次元ベクトル(2量子ビット)  
と $|0\rangle$ に分解された。

## 3量子ビットで $U|\psi\rangle = |0\rangle$ になる $U$ を作る (続き)

同じようにして、 $\begin{bmatrix} r_1 \\ r_2 \\ r_3 \\ r_4 \end{bmatrix}$ も $\begin{bmatrix} r'_1 \\ r'_2 \end{bmatrix} \otimes |0\rangle$ に分解でき、 $\begin{bmatrix} r'_1 \\ r'_2 \end{bmatrix}$ も $R_y(\theta)R_z(\phi)$ で $|0\rangle$ にすることができるので、

$$\begin{array}{c} \text{2x2の} \\ \text{行列} \end{array} R''_1 \begin{array}{c} \text{4x4の} \\ \text{行列} \end{array} \begin{bmatrix} R'_1 & 0 \\ 0 & R'_2 \end{bmatrix} \begin{array}{c} \text{8x8の行列} \end{array} \begin{bmatrix} R_1 & & & 0 \\ & R_2 & & \\ & & R_3 & \\ 0 & & & R_4 \end{bmatrix} \begin{array}{c} \begin{bmatrix} a_1 \\ a_2 \\ a_3 \\ a_4 \\ a_5 \\ a_6 \\ a_7 \\ a_8 \end{bmatrix} \\ |\psi\rangle \end{array} = R''_1 \begin{bmatrix} R'_1 & 0 \\ 0 & R'_2 \end{bmatrix} \begin{bmatrix} r_1 \\ r_2 \\ r_3 \\ r_4 \end{bmatrix} \otimes |0\rangle = R''_1 \begin{bmatrix} r'_1 \\ r'_2 \end{bmatrix} \otimes |0\rangle \otimes |0\rangle = |0\rangle \otimes |0\rangle \otimes |0\rangle$$

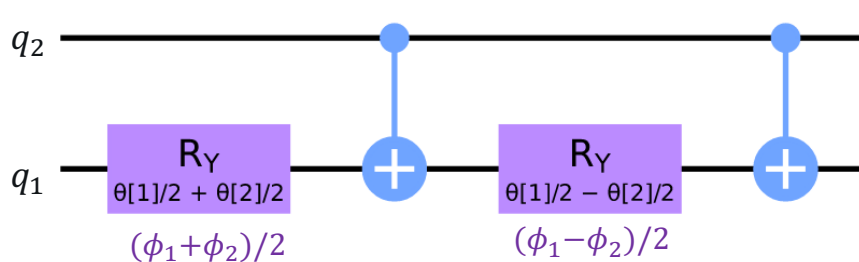
このようにして、 $U|\psi\rangle = |0\rangle$  となる $U$ を作ることができる。  
( $n$ 量子ビットでも同様。)

2x2の行列  $R''_1$ は、 $R''_1|\psi_1\rangle = r_1|0\rangle$  となる $R_y(\theta)R_z(\phi)$ の $\theta, \phi$ を求めることで求められるが、  
4x4の行列、8x8の行列 の作り方は？



# 3量子ビットで $U|\psi\rangle = |0\rangle$ になる $U$ を作る (続き)

$\begin{bmatrix} R(\phi_1) & 0 \\ 0 & R(\phi_2) \end{bmatrix}$ は以下のように実装できます。  
4x4の行列



- $q_2 = 0$ の場合:  $R\left(\frac{\phi_1}{2}\right) + R\left(\frac{\phi_1}{2}\right) = R(\phi_1)$  がかかる。
- $q_2 = 1$ の場合: 2個目の $R$ の前後の $X$ ゲートで回転の向きが反転するので  
 $R\left(\frac{\phi_2}{2}\right) + R\left(\frac{\phi_2}{2}\right) = R(\phi_2)$  になる。

参考) Qiskit テキストブック 2.4.3

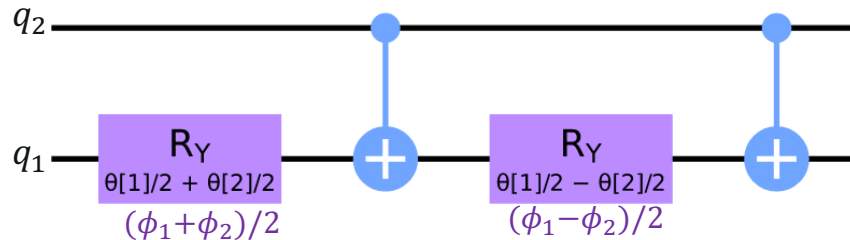
確かめ

$$\begin{bmatrix} R(\phi_1) & 0 \\ 0 & R(\phi_2) \end{bmatrix} = \begin{bmatrix} R(\phi_1)_{11} & R(\phi_1)_{12} & & 0 \\ R(\phi_1)_{21} & R(\phi_1)_{22} & & 0 \\ & & R(\phi_2)_{11} & R(\phi_2)_{12} \\ & & R(\phi_2)_{21} & R(\phi_2)_{22} \end{bmatrix} \text{と書くと}$$

$$\begin{bmatrix} R(\phi_1)_{11} & R(\phi_1)_{12} & & 0 \\ R(\phi_1)_{21} & R(\phi_1)_{22} & & 0 \\ & & R(\phi_2)_{11} & R(\phi_2)_{12} \\ & & R(\phi_2)_{21} & R(\phi_2)_{22} \end{bmatrix} \begin{bmatrix} 1 \\ 0 \\ 0 \\ 0 \end{bmatrix} = R(\phi_1)|00\rangle, \text{ また } \begin{bmatrix} 1 \\ 0 \\ 0 \\ 0 \end{bmatrix} = |00\rangle, \begin{bmatrix} 0 \\ 1 \\ 0 \\ 0 \end{bmatrix} = |01\rangle, \begin{bmatrix} 0 \\ 0 \\ 1 \\ 0 \end{bmatrix} = |10\rangle, \begin{bmatrix} 0 \\ 0 \\ 0 \\ 1 \end{bmatrix} = |11\rangle \text{ (ここで } |q_2 q_1\rangle \text{)}$$

を使うと確かめられる。

(補足)



$$U' = \begin{bmatrix} R(\phi_1)_{11} & R(\phi_1)_{12} & & 0 \\ R(\phi_1)_{21} & R(\phi_1)_{22} & & 0 \\ & 0 & R(\phi_2)_{11} & R(\phi_2)_{12} \\ & & R(\phi_2)_{21} & R(\phi_2)_{22} \end{bmatrix}$$

$$\begin{bmatrix} 1 \\ 0 \\ 0 \\ 0 \end{bmatrix} = |00\rangle, \begin{bmatrix} 0 \\ 1 \\ 0 \\ 0 \end{bmatrix} = |01\rangle, \begin{bmatrix} 0 \\ 0 \\ 1 \\ 0 \end{bmatrix} = |10\rangle, \begin{bmatrix} 0 \\ 0 \\ 0 \\ 1 \end{bmatrix} = |11\rangle$$

$= U'$  とおく

この回路は、

- $q_2=0$ の場合:  $R\left(\frac{\phi_1}{2}\right) + R\left(\frac{\phi_1}{2}\right) = R(\phi_1)$ がかかる。

- $q_2=1$ の場合:  $R\left(\frac{\phi_2}{2}\right) + R\left(\frac{\phi_2}{2}\right) = R(\phi_2)$ がかかる。

というもの(\*)

$U'$ が(\*)であることの確かめ

$|q_2\rangle \otimes |q_1\rangle$

$$|0\rangle \otimes |0\rangle \rightarrow U' \rightarrow |0\rangle \otimes R(\phi_1)|0\rangle \rightarrow R(\phi_1)|00\rangle$$

$$|0\rangle \otimes |1\rangle \rightarrow U' \rightarrow |0\rangle \otimes R(\phi_1)|1\rangle \rightarrow R(\phi_1)|01\rangle$$

$$|1\rangle \otimes |0\rangle \rightarrow U' \rightarrow |1\rangle \otimes R(\phi_2)|0\rangle \rightarrow R(\phi_2)|10\rangle$$

$$|1\rangle \otimes |1\rangle \rightarrow U' \rightarrow |1\rangle \otimes R(\phi_2)|1\rangle \rightarrow R(\phi_2)|11\rangle$$

# 3量子ビットで $U|\psi\rangle = |0\rangle$ になる $U$ を作る (続き)

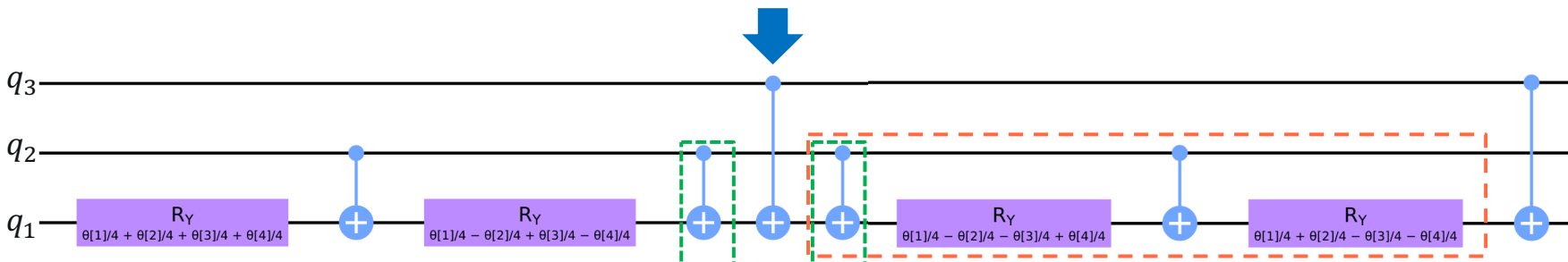
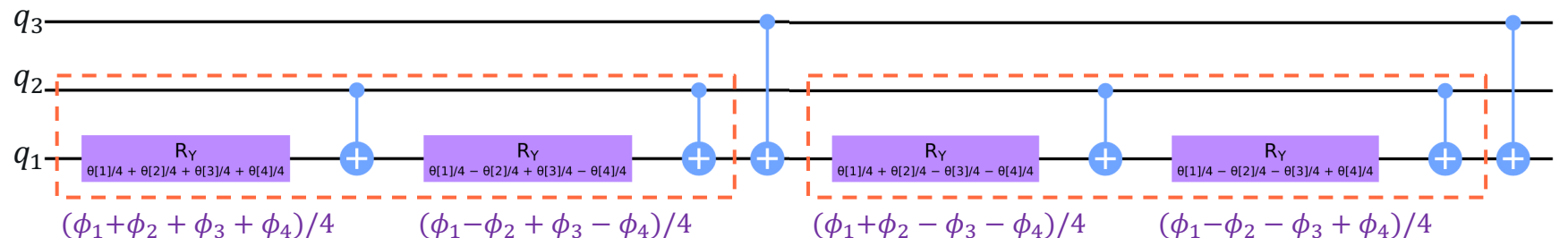
同様にして

8x8の行列

$$\begin{bmatrix} R(\phi_1) & & & 0 \\ & R(\phi_2) & & \\ & 0 & R(\phi_3) & \\ & & & R(\phi_4) \end{bmatrix}$$

は以下のように実装できます。

$$\begin{bmatrix} R_1 & & & 0 \\ & R_2 & & \\ & 0 & R_3 & \\ & & & R_4 \end{bmatrix} |\psi\rangle = \begin{bmatrix} R_1 |\psi_1\rangle \\ R_2 |\psi_2\rangle \\ R_3 |\psi_3\rangle \\ R_4 |\psi_4\rangle \end{bmatrix}$$

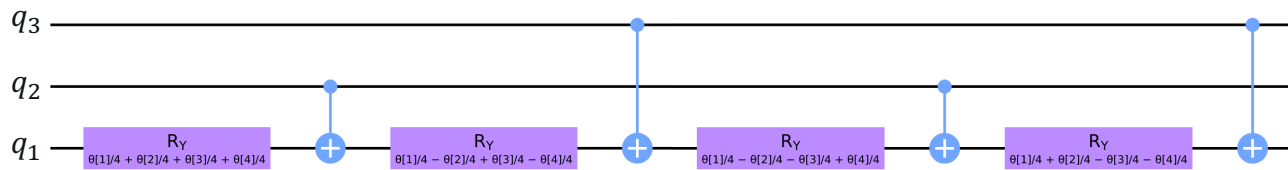


2つのCNOTがキャンセルできる

逆向きにしても同じ

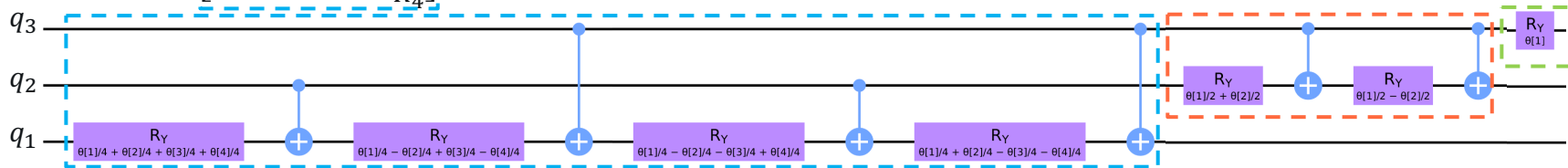
References: [1] Shende, Bullock, Markov. Synthesis of Quantum Logic Circuits (2004) [<https://arxiv.org/abs/quant-ph/0406176v5>]

2つのCNOTを消去



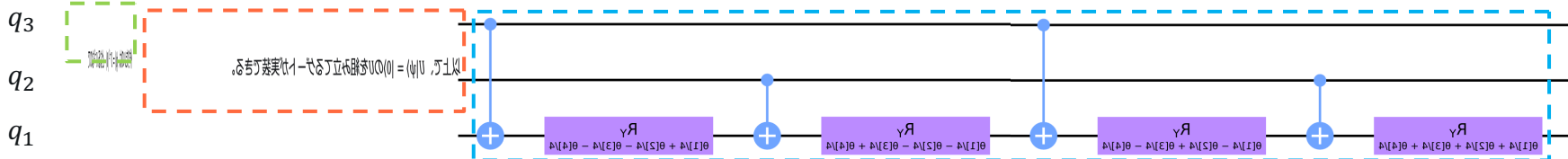
以上で、 $U|\psi\rangle = |0\rangle$ の $U$ を組み立てるゲートが実装できる。

$$R''_1 \begin{bmatrix} R'_1 & 0 \\ 0 & R'_2 \end{bmatrix} \begin{bmatrix} R_1 & & & 0 \\ & R_2 & & \\ & & R_3 & \\ 0 & & & R_4 \end{bmatrix} |\psi\rangle = |0\rangle$$
 を並べると(行列と回路は逆順なことに注意)



作りたいのは、 $|\psi\rangle = U^{-1} |0\rangle$  となる  $U^{-1}$ なので

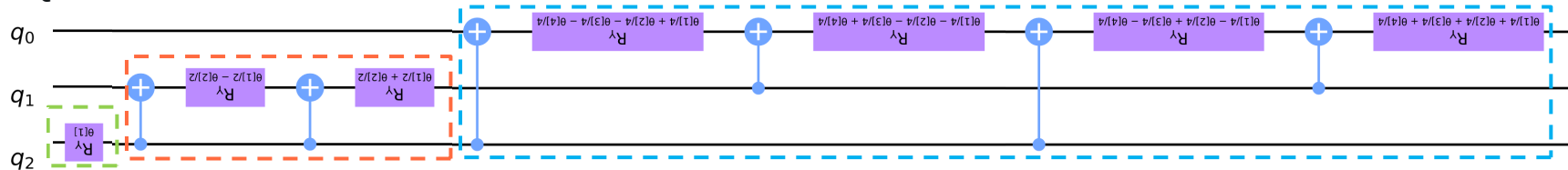
上記を逆行列（逆順に並べて、回転の向きを逆に）にしたものがInitialize関数で作ってくれるもの



さらにQiskitのビット配列では上下逆転なので



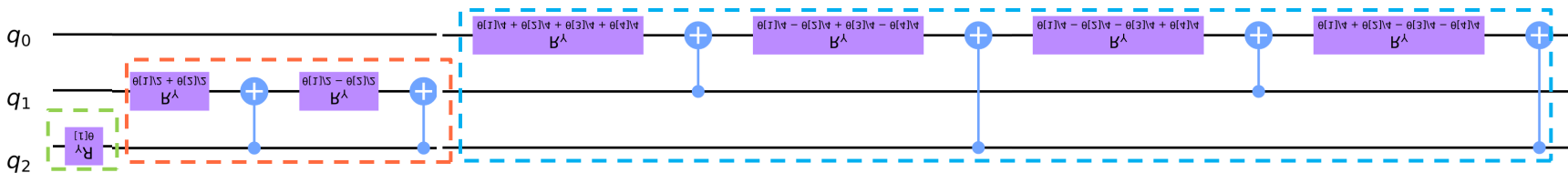
## Qiskitのビット配列で



先程と同じく点線の中は逆向きにしても同じ  
法則を使うと

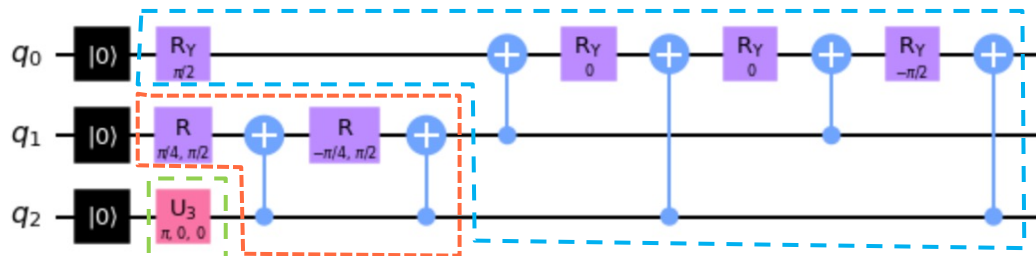


**References:** [1] Shende, Bullock, Markov. Synthesis of Quantum Logic Circuits (2004) [<https://arxiv.org/abs/quant-ph/0406176v5>]



相対位相が入る場合、Rzも同じように入れていく。

Initialize関数で作ったものと同じ形になりました。



# 計算基底符号化のまとめ

- 計算基底符号化は、 $N$ ビットデータを $N$ 量子ビットの計算基底状態に変換する。
- Qiskitでは、Initialize関数で計算基底符号化を行うことができる。
- Initialize関数は、任意の量子状態が、 $Z$ 、 $Y$ 軸回転、CNOTで $|0\rangle$ にできることより、その逆行列を作って、 $|0\rangle$ から任意の量子状態をセットする。

例) データセット $\mathcal{X} = \{x^{(1)} = 101, x^{(2)} = 111\}$   $\Rightarrow |\mathcal{X}\rangle = \frac{1}{\sqrt{2}}(|101\rangle + |111\rangle)$

```
import math
from qiskit import QuantumCircuit
```

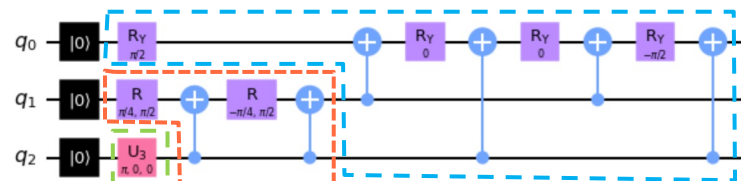
```
desired_state = [
```

```
    0,
    0,
    0,
    0,
    0,
    0,
    1 / math.sqrt(2),
    0,
    1 / math.sqrt(2)]
```

$$|5\rangle = \begin{pmatrix} 0 \\ 0 \\ 0 \\ 0 \\ 0 \\ 0 \\ 1 \\ 0 \\ 0 \end{pmatrix}, |7\rangle = \begin{pmatrix} 0 \\ 0 \\ 0 \\ 0 \\ 0 \\ 0 \\ 0 \\ 0 \\ 1 \end{pmatrix}$$

```
qc = QuantumCircuit(3)
qc.initialize(desired_state, [0,1,2])
```

```
qc.decompose().decompose().decompose().decompose().decompose().draw("mpl")
```



計算基底符号化の欠点：

理解するのは簡単だが、状態ベクトルが非常に疎になることが多く、効率的に実装できない。

## 2. 振幅符号化

振幅符号化は、データを量子状態の振幅に符号化します。

つまり、正規化された古典 $N$ 次元データポイント $x$ を、 $n$ 量子ビットの量子状態 $|\psi_x\rangle$ の振幅として表します。

$N$ 次元データポイント  $x$



振幅符号化

$$|\psi_x\rangle = \sum_{i=1}^N x_i |i\rangle$$

ここで、 $N = 2^n$ 、 $x_i$ は $x$ の $i$ 番目の要素であり、 $|i\rangle$ は $i$ 番目の計算基底状態です。

データセットの場合

$$\mathcal{X} = \{x^{(1)}, \dots, x^{(m)}, \dots, x^{(M)}\}$$



$MN$ 次元のすべてのデータポイントを  
長さ  $N \times M$  の1つの振幅ベクトルに連結。

$$\alpha = A_{\text{norm}}(x_1^{(1)}, \dots, x_N^{(1)}, \dots, x_1^{(m)}, \dots, x_N^{(m)}, \dots, x_1^{(M)}, \dots, x_N^{(M)})$$

ここで $A_{\text{norm}}$ は正規化定数であり、 $|\alpha|^2 = 1$ 。



振幅符号化

$$|\mathcal{X}\rangle = \sum_{i=1}^N \alpha_i |i\rangle$$

ここで、 $\alpha_i$ は振幅ベクトルの要素であり、 $|i\rangle$ は計算基底状態です。  
符号化される振幅の数は $N \times M$ です。

$n$ 量子ビットのシステムには $2^n$ 個の振幅があるので、振幅の埋め込みには $n \geq \log_2(NM)$ 個の量子ビットが必要。

# 振幅符号化の例

例) データセットデータセット  $\mathcal{X} = \{x^{(1)} = (1.5, 0), x^{(2)} = (-2, 3)\}$  を符号化すると、

$$\alpha = \frac{1}{\sqrt{15.25}}(1.5, 0, -2, 3) \quad (\text{両方のデータポイントを連結し、結果のベクトルを正規化})$$

よって振幅符号化された2量子ビットの量子状態は

$$|\mathcal{X}\rangle = \frac{1}{\sqrt{15.25}}(1.5|00\rangle - 2|10\rangle + 3|11\rangle)$$

この例では、振幅ベクトルの要素の総数 $N \times M$ (つまり、2ビットx2データポイント=4)は2の累乗なので、必要な量子ビット数は $n \geq \log_2(NM)$ よりピッタリ2。  
 $N \times M$ が2の累乗でない場合、 $2^n \geq NM$ となるように $n$ の値を選び、振幅ベクトルに情報量の少ない定数を埋め込む(残りの量子状態の振幅はゼロにする)。

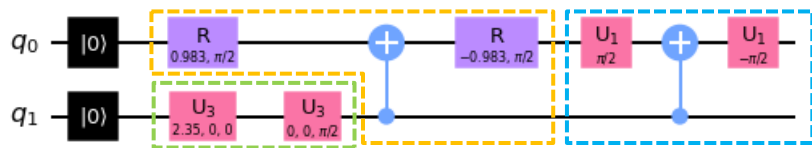


# 振幅符号化の実装

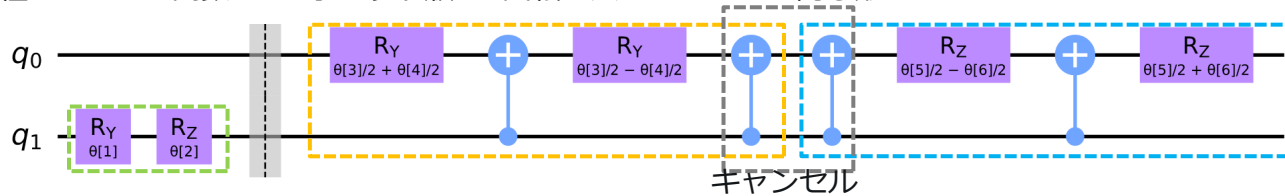
計算基底符号化と同様に、データセットを符号化する状態を計算して、initialize関数で準備できます:

$$|\mathcal{X}\rangle = \frac{1}{\sqrt{15.25}}(1.5|00\rangle - 2|10\rangle + 3|11\rangle) \quad \text{なので}$$

```
desired_state = [  
    1 / math.sqrt(15.25) * 1.5,  
    0,  
    1 / math.sqrt(15.25) * -2,  
    1 / math.sqrt(15.25) * 3]  
  
qc = QuantumCircuit(2)  
qc.initialize(desired_state, [0,1])  
  
qc.decompose().decompose().decompose().decompose().draw("mpl")
```



先程のinitialize関数の2量子ビット版にZ回転も入れたものと同じ形



# 振幅符号化のまとめ

- 振幅符号化は、データを量子状態の振幅に符号化する。（実装にはInitialize関数を使う）

古典データセット

$$\mathcal{X} = \{x^{(1)}, \dots, x^{(m)}, \dots, x^{(M)}\}$$



$MN$ 次元のすべてのデータポイントを  
長さ  $N \times M$  の1つの振幅ベクトルに連結。

$$\alpha = A_{\text{norm}}(x_1^{(1)}, \dots, x_N^{(1)}, \dots, x_1^{(m)}, \dots, x_N^{(m)}, \dots, x_1^{(M)}, \dots, x_N^{(M)})$$



ここで  $A_{\text{norm}}$  は正規化定数であり、 $|\alpha|^2 = 1$ 。 振幅符号化

$$|\mathcal{X}\rangle = \sum_{i=1}^N \alpha_i |i\rangle$$

ここで、 $\alpha_i$  は振幅ベクトルの要素であり、 $|i\rangle$  は計算基底状態です。  
符号化される振幅の数は  $N \times M$  です。

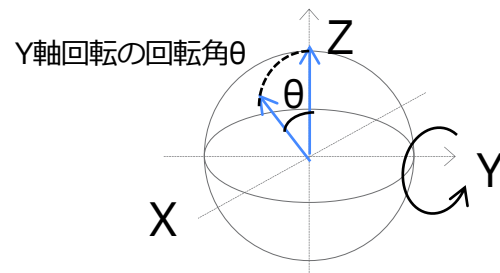
- 振幅符号化の利点：符号化に必要なのは  $\log_2(NM)$  量子ビットのみ。
- ただし、その後の計算に使うアルゴリズムが量子振幅の操作になり、量子状態を準備し測定する方法が効率的ではない傾向があります。（振幅増幅や位相推定には多くの制御ゲートが必要）

### 3. 角度符号化

角度符号化は、 $N$ 個の特徴(feature)を $n$ 量子ビットの回転角に符号化します。(ここで、 $N \leq n$ )

たとえば、データポイント $x = (x_1, \dots, x_N)$ は次のように符号化できます。

$$|x\rangle = \bigotimes_{i=1}^N \cos(x_i)|0\rangle + \sin(x_i)|1\rangle$$



(\*)  $\bigotimes_{i=1}^N$  : 大きなシグマ ( $\Sigma$ ) が異なる値の総和を表すのと同じように、この大きな「オータイムス」は、ある値の集合に対して、その右側にある式のクロネッカー積を取ることを意味します。

例) データポイント $x = (x_1, x_2, x_3)$ は、以下のように3量子ビットで角度符号化できる。

$$\begin{aligned} |x\rangle &= \bigotimes_{i=1}^3 \cos(x_i)|0\rangle + \sin(x_i)|1\rangle \\ &= (\cos(x_1)|0\rangle + \sin(x_1)|1\rangle) \otimes (\cos(x_2)|0\rangle + \sin(x_2)|1\rangle) \otimes (\cos(x_3)|0\rangle + \sin(x_3)|1\rangle) \\ &= \begin{pmatrix} \cos(x_1) \\ \sin(x_1) \end{pmatrix} \otimes \begin{pmatrix} \cos(x_2) \\ \sin(x_2) \end{pmatrix} \otimes \begin{pmatrix} \cos(x_3) \\ \sin(x_3) \end{pmatrix} \end{aligned}$$

データポイント  
 $x = (x_1, \dots, x_N)$



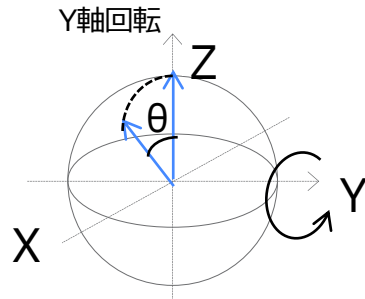
N量子ビット

$$|x\rangle = \bigotimes_{i=1}^N \cos(x_i)|0\rangle + \sin(x_i)|1\rangle$$

- 計算基底符号化、振幅符号化と違って、データセット全体ではなく、一度に1つのデータポイントのみを符号化する方法。
- 使用するのはN量子ビットで量子回路の深さも一定であるため、現在の量子ハードウェアに適用可能。

Y軸周りの単一量子ビットの回転を使って実装します。

$$RY(\theta) = \exp(-i\frac{\theta}{2}Y) = \begin{pmatrix} \cos \frac{\theta}{2} & -\sin \frac{\theta}{2} \\ \sin \frac{\theta}{2} & \cos \frac{\theta}{2} \end{pmatrix}$$

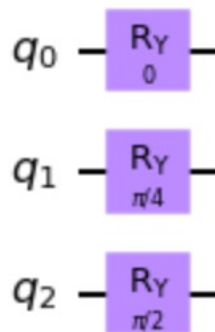


# 角度符号化の実装

データポイント  $x = (0, \pi/4, \pi/2)$  の時、

```
qc = QuantumCircuit(3)

qc.ry(0, 0)
qc.ry(math.pi/4, 1)
qc.ry(math.pi/2, 2)
qc.draw("mpl")
```



# 高密度角度符号化

高密度角度符号化は、角度符号化を少しだけ一般化したもの。  
相対位相を使って1量子ビットごとに2つの特徴を符号化します。

データポイント  $x = (x_1, \dots, x_N)$  は次のように符号化されます:

$$|x\rangle = \bigotimes_{i=1}^{N/2} \cos(x_{2i-1})|0\rangle + e^{ix_{2i}} \sin(x_{2i-1})|1\rangle$$

実装には、Phaseゲートを使えます。

$$p(\lambda) = \begin{pmatrix} 1 & 0 \\ 0 & e^{i\lambda} \end{pmatrix}$$

## 4. 任意の符号化

角度符号化における関数をさらに一般化したもの。

- 角度符号化：  $\sin$ 関数
- 高密度角度符号化：  $\sin$ 関数と $\exp$ 関数
- **任意の符号化**： 任意のユニタリー演算（CNOT含む）

$N$ 個の特徴(feature)を $n$ 量子ビット上の $N$ 個のパラメーター化されたゲートの回転として符号化。（ここで、 $n \leq N$ ）

データセット全体ではなく、一度に1つのデータポイントのみを符号化。

一定の深さの量子回路で $n \leq N$  である $n$ 量子ビットを使用しているため、現在の量子ハードウェアで実行しやすい。

# 任意の符号化の例：EfficientSU2

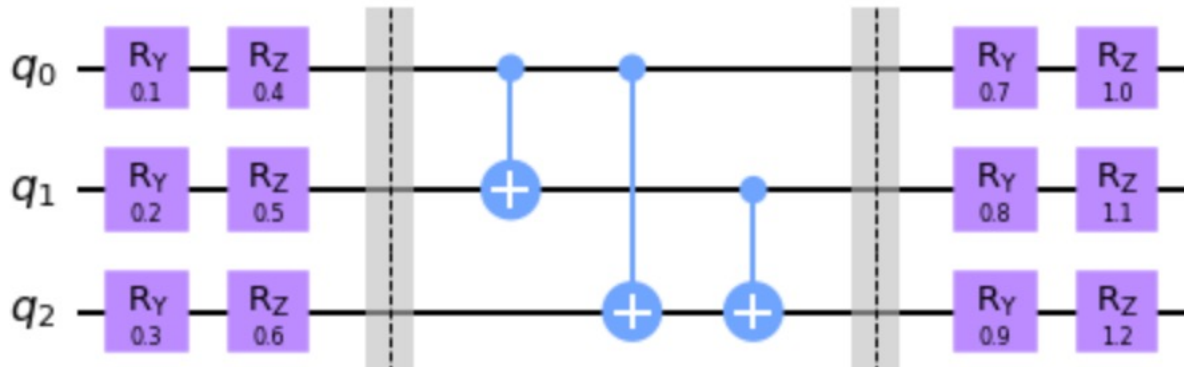
データポイント  $x = [0.1, 0.2, 0.3, 0.4, 0.5, 0.6, 0.7, 0.8, 0.9, 1.0, 1.1, 1.2]$  を12の特徴(feature)で符号化し、パラメーター化された各ゲートを使用して符号化します。

```
from qiskit.circuit.library import EfficientSU2

circuit = EfficientSU2(num_qubits=3, reps=1, insert_barriers=True)
circuit.decompose().draw("mpl")
```

```
x = [0.1, 0.2, 0.3, 0.4, 0.5, 0.6, 0.7, 0.8, 0.9, 1.0, 1.1, 1.2]
```

```
encode = circuit.bind_parameters(x)
encode.decompose().draw("mpl")
```





# EfficientSU2とは

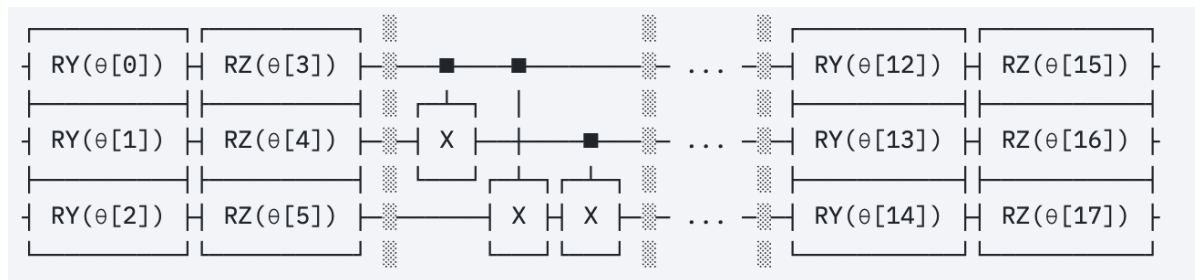
ハードウェア的に効率的なSU(2)の回路です。

SU(2) : 群の分類で、2 行 2 列のユニタリー行列で行列式が 1 であるもの

SU(2)とCXの層で構成されています。

変分量子アルゴリズムの試行波動関数や機械学習の分類回路を準備するための経験的な形式です。

3量子ビットの場合、SU(2) ゲートとしてYゲートとZゲートを用いると、

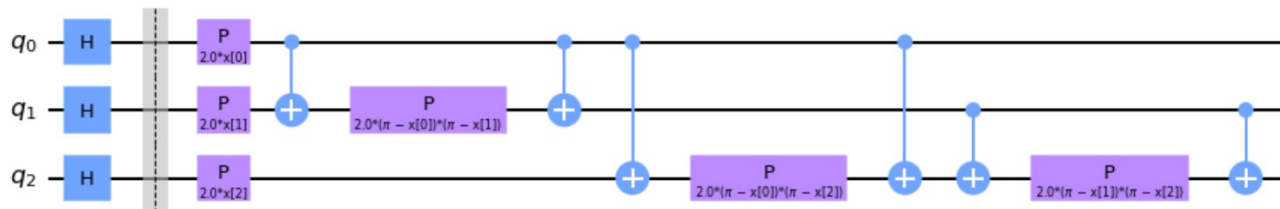


# 任意の符号化の例：ZZFeatureMap

3量子ビットのZZFeatureMap回路は、6つのパラメーター化ゲートがあるが、3つの特徴(feature)のデータポイントしか符号化しません:

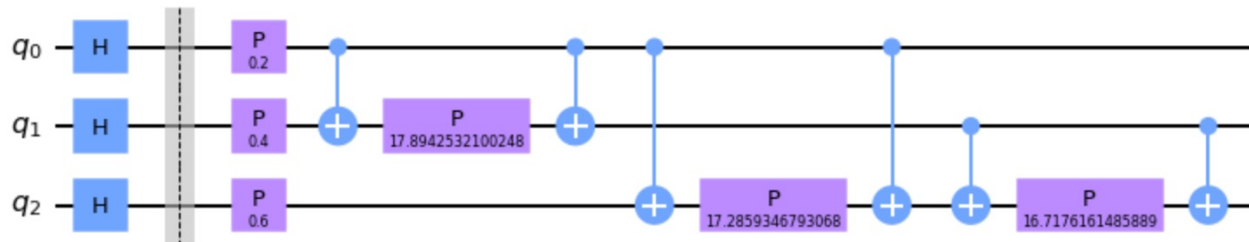
```
from qiskit.circuit.library import ZZFeatureMap

circuit = ZZFeatureMap(3, reps=1, insert_barriers=True)
circuit.decompose().draw("mpl")
```



$x = [0.1, 0.2, 0.3]$

```
encode = circuit.bind_parameters(x)
encode.decompose().draw("mpl")
```

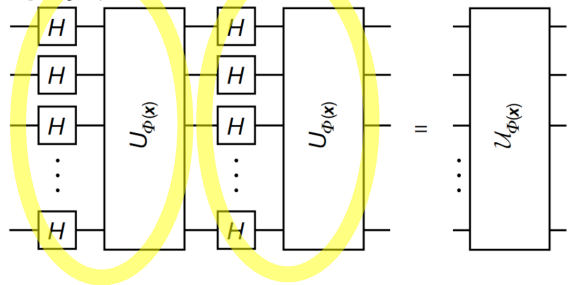


# 量子特徴量マップ

後ろの章 (Quantum feature maps and kernels) で詳しく説明されます

ZZFeatureMap以外にも様々なFeature Map(特徴量マップ)があります。

基本形は、エンタングルメントを生成するブロック $U_{\Phi(x_k)}$ とHゲートの層が交互に連なった形をしています。  
(d回繰り返す)



$$|\Phi(\mathbf{x})\rangle = \prod_d U_{\Phi(\mathbf{x})} H^{\otimes n} |0\rangle \quad : U_{\Phi(\mathbf{x})} H^{\otimes n} \text{ を } d \text{ 回繰り返す}$$

$$U_{\Phi(\mathbf{x})} = \exp \left( i \sum_i \phi_i(\mathbf{x}) P_i + i \sum_{i,j} \phi_{ij}(\mathbf{x}) P_{ij} + \sum_{i,j,k} \phi_{ijk}(\mathbf{x}) P_{ijk} + \dots \right)$$

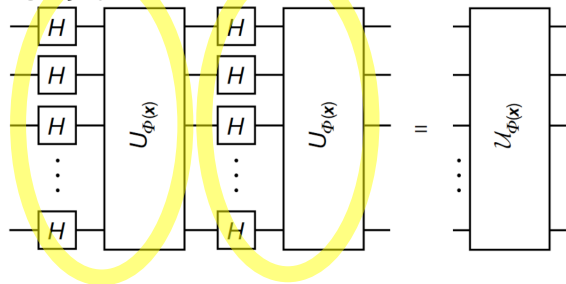
- $i, j, k \dots$  はエンタングルさせるビットの組み合わせ
- $P_i \in \{I, X, Y, Z\}$  :パウリ行列
- $\phi_i(\mathbf{x})$  はパウリ行列の係数(位相)

# 量子特徴量マップ

後ろの章 (Quantum feature maps and kernels) で詳しく説明されます

ZZFeatureMap以外にも様々なFeature Map(特徴量マップ)があります。

基本形は、エンタングルメントを生成するブロック $U_{\Phi(x_k)}$ とHゲートの層が交互に連なった形をしています。(d回繰り返す)



$$|\Phi(\mathbf{x})\rangle = \prod_d U_{\Phi(\mathbf{x})} H^{\otimes n} |0\rangle : U_{\Phi(\mathbf{x})} H^{\otimes n} \text{ を } d \text{ 回繰り返す}$$

$$U_{\Phi(x)} = \exp \left( i \sum_i \phi_i(x) P_i + i \sum_{i,j} \phi_{ij}(x) P_{ij} + \sum_{i,j,k} \phi_{ijk}(x) P_{ijk} + \dots \right)$$

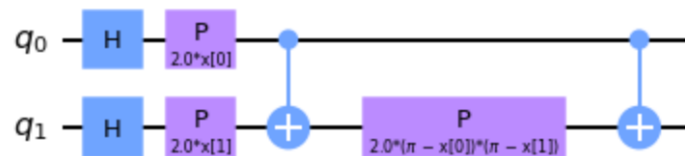
## ZZ feature mapの場合

$$\begin{cases} \phi_i(x) = x_i \\ \phi_{ij}(x) = (\pi - x_i)(\pi - x_j) \end{cases}$$

$$\begin{cases} P_i = Z_i \\ P_{ij} = Z_{ij} = Z_i Z_j \end{cases}$$

2量子ビットの時 :

$$U_{\Phi(x)} = \exp(ix_0 Z_0 + ix_1 Z_1 + i(\pi - x_0)(\pi - x_1) Z_0 Z_1)$$



# データの符号化

## 1. 計算基底符号化

例) データセット  $\mathcal{X} = \{x^{(1)} = 101, x^{(2)} = 111\}$   $\Rightarrow |\mathcal{X}\rangle = \frac{1}{\sqrt{2}}(|101\rangle + |111\rangle)$

## 2. 振幅符号化

例)  $\mathcal{X} = \{x^{(1)} = (1.5, 0), x^{(2)} = (-2, 3)\}$   $\Rightarrow |\mathcal{X}\rangle = \frac{1}{\sqrt{15.25}}(1.5|00\rangle - 2|10\rangle + 3|11\rangle)$

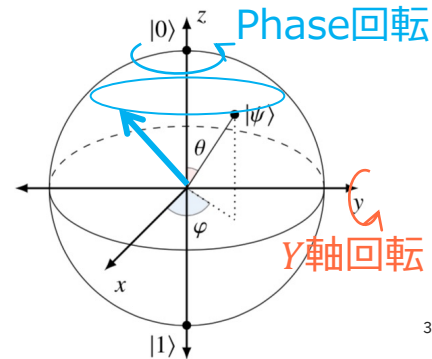
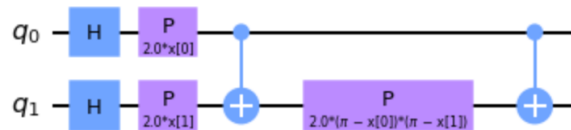
## 3. 角度符号化

例) データポイント  $x = (x_1, x_2)$   $\Rightarrow S_x = RY(2x_1) \otimes RY(2x_2)$



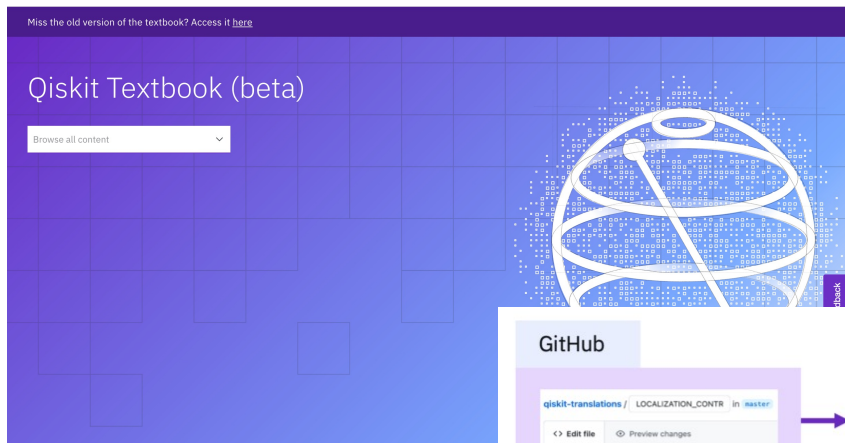
## 4. 任意の符号化(角度符号化の拡張)

例) データポイント  $x = (x_1, x_2)$   $\Rightarrow$



# 新版Qiskit Textbookの翻訳協力者募集中！

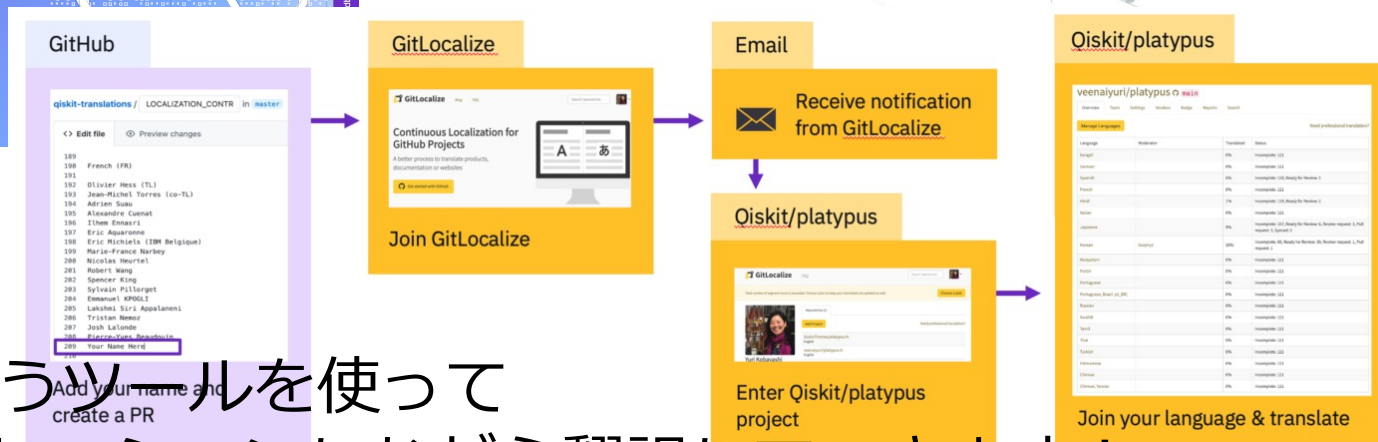
<https://github.com/qiskit-community/qiskit-translations>



Help make Qiskit accessible to non-English speaking communities



GitLocalizeというツールを使って  
複数人でコラボレーションしながら翻訳していきます！



# 量子コンピューター夏の学校

～今年は量子シミュレーションです！

開催期間：7/18(月)～7/29(金)

第2段申し込み：6/3(金)朝7:00(日本時間) Open

## Qiskit Global Summer School 2022: Quantum Simulations

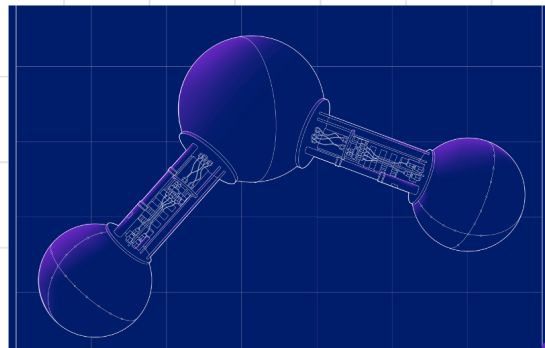
The Qiskit Global Summer School 2022 is a two-week intensive summer program designed to empower the quantum researchers and developers of tomorrow with the skills and know-how to explore the world of quantum computing and its applications. This third-annual summer school will provide a focused introduction to quantum computing and its applications to quantum simulation, with a specific focus on quantum chemistry.

Please follow [Qiskit Twitter](#) for more details and updates. For any questions, please check out our FAQ below!

Early Bird Registration will open at 12:00 PM EST on May 26, 2022.

<https://qiskit.org/events/summer-school/>

Register now!



### Qiskit Global Summer School 2022: Quantum Simulations

The Qiskit Global Summer School returns as a two-week intensive course focused on Quantum Simulations and more!

Online

July 18 - 29, 2022

[Learn more](#)

Feedback

